arXiv:1003.3199v1 [math.AG] 16 Mar 2010

Faisceaux pervers sur les variétés toriques lisses

Delphine Dupont

March 17, 2010

Abstract

Soit X une variété torique lisse stratifiée par l'action du tore. À partir de l'éventail associée à X nous définissons une catégorie de représentations de carquois équivalente à la catégorie des faisceaux pervers sur X relativement à cette stratification.

1 Introduction

Depuis la définition dans [1] de la catégorie $\mathcal{P}erv_X$ des faisceaux pervers sur un espace topologique X, de nombreuses méthodes ont été développées pour en donner dans le cas où la stratification est fixée une description élémentaire. Plusieurs descriptions par des catégories de représentations de carquois se font sur des espaces topologiques particuliers munis d'une stratification fixée. Rappelons qu'un carquois est un graphe orienté et qu'une représentation de ce carquois est un foncteur de ce graphe dans la catégorie des espaces vectoriels de dimension finie. Un premier exemple de cette approche est donné par A. Galligo, M. Granger et Ph. Maisonobe qui, dans [4], démontrent l'équivalence de la catégorie des faisceaux pervers sur $\mathbb{C}^n$ relativement à un croisement normal avec une sous-catégorie pleine, notée $\mathcal{C}_n$, de la catégorie de représentations du carquois associé à un hypercube. On peut aussi citer [7], [2] et [5]. D'autres méthodes, plus générales mais du même coup moins explicites, consistent à décrire la catégorie $\mathcal{P}erv_X$ dans le cas où X est un espace de Thom-Mather. Citons par exemple R. MacPherson et K. Vilonen, dans [6].

Les résultats que nous venons de citer ne tiennent pas compte du caractère local des faisceaux pervers. Rappelons, en effet, que les faisceaux pervers sur un espace stratifié forment un champ. Autrement dit connaître un faisceau pervers à isomorphisme près sur un ouvert U revient à le connaître sur un recouvrement ouvert. On peut donc s'attendre à ce qu'une caractérisation locale de la catégorie des faisceaux pervers par des catégories explicites de représentations de carquois puisse se recoller sur X en une description simple de la catégorie globale des faisceaux pervers. Ceci permettrait, par exemple, de décrire les faisceaux pervers sur un espace qui est localement un des espaces cités. Dans [9] et [8], D. Treumann utilise se genre de méthodes pour généraliser le procédé défini dans [6].

Nous nous intéressons ici à la catégorie $\mathcal{P}erv_X$ des faisceaux pervers sur une variété torique lisse X stratifiée par le l'action du tore. Les variétés toriques sont

des espaces indiqués car ils sont localement isomorphes à des produits de $\mathbb{C}^k$ et de $\mathbb{C}^{*l}$ stratifiés par le croisement normal. Il s'agit donc d'utiliser la notion de champs et notamment de champs constructibles pour recoller les descriptions de A. Galligo, M. Granger et Ph. Maisonobe. Nous exposons ici le résultat de cette méthode. Ainsi à partir de la donnée dún éventail nous définissons une sous catégorie pleine de la catégorie de représentations d'un certain carquois équivalente à la catégorie $\mathcal{P}erv_X$.

2 Catégorie des faisceaux pervers sur les variétés toriques lisses.

On note Δ un éventail de $\mathbb{C}^n$, $v_1, \cdots, v_k$ les vecteurs primitifs qui engendrent les cônes de dimension un appartenant à Δ, et $\mathcal{I}$ l'ensemble des parties I de $\{1, \cdots, k\}$ telles que l'enveloppe positive des vecteurs $\{v_i\}_{i\in I}$ soit un cône de Δ. On note X_I la variété associée au cône σ_I et $\mathcal{P}erv_I$ la categorie des faisceaux pervers sur X_I relativement à la stratification donnée par l'action du tore.
On suppose de plus que Δ est un éventail régulier de $\mathbb{R}^n$, la variété X_Δ est donc lisse.

Definition 1. *Soit I une partie de $\mathcal{I}$, on dit que I et σ_I sont maximaux s'ils sont maximaux pour l'inclusion dans respectivement $\mathcal{I}$ et Δ.*

Pour tout cône maximal σ_I de Δ, on se fixe une base $\mathcal{B}_I$ de $\mathbb{Z}^n$ qui contient les vecteurs $\{v_i\}_{i\in I}$ (l'existence de $\mathcal{B}_I$ est assurée par le fait que Δ est régulier).

Definition 2. *On note c_Δ le carquois défini par la donnée :*

- *pour tout cône σ_I de Δ, d'un sommet s_I muni de $n-l$ boucles, l étant le cardinal maximal des ensembles maximaux de $\mathcal{I}$ contenant I,*
- *pour tout couple $(\sigma_I, \sigma_{I'})$ de cônes de Δ tels que $\sigma_{I'}$ soit une face de codimension un de σ_I, de deux flèches entre s_I et $s_{I'}$ de sens inverse.*

Exemples

- Le carquois associé à la variété torique $\mathbb{C}^n$ est un hypercube de dimension n. De même le carquois associé à $\mathbb{C}^l \times \mathbb{C}^{*n-l}$ est un hypercube de dimension l dont les sommets sont munis de $n-l$ boucles.
- Si $\Delta \in \mathbb{C}^2$ est la réunion des faces des cônes respectivement engendrés par les vecteurs (e_1, e_2) et $-e_1 - e_2$ où (e_1, e_2) est la base canonique de $\mathbb{C}^2$. Le carquois associé est le carquois (1). De même les carquois associé à $\mathbb{P}_1$ et $\mathbb{P}_2$ sont respectivement les carquois (2) et (3):

(1) 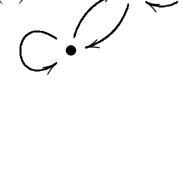 (2) (3) 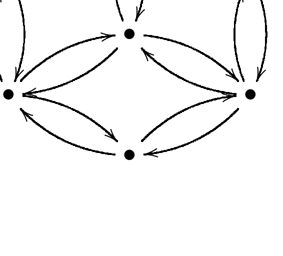

Un objet de la catégorie des représentations du carquois c_Δ est donc la donnée d'une famille :

$$\Big(\{E_I\}_{I\in\mathcal{I}},\{u_{Ip},v_{Ip}\}_{I\cup\{p\}\in\mathcal{I}},\{{}_iM_I\}\Big)$$

où E_I est un espace vectoriel de dimension finie, u_{Ip} et v_{Ip} sont des applications linéaires de respectivement E_I dans E_{Ip} et E_{Ip} dans E_I et où ${}_iM_I$ est un endomorphisme de E_I où i varie de 0 à $n-l$, l étant le cardinal maximal des ensembles maximaux de $\mathcal{I}$ contenant I.

Definition 3. *On note $\mathcal{C}_\Delta$ la sous-catégorie pleine de la catégorie des represésentations du carquois c_Δ formée des objets tels que :*

(i) Pour toute partie I de $\mathcal{I}$ l'application linéaire ${}_iM_I$ est inversible.

(ii) Pour tout couple $(I\cup\{p\},I)$ appartenant à $\mathcal{I}^2$ l'application linéaire M_{Ip} suivante est inversible :

$$M_{Ip}=v_{Ip}u_{Ip}+Id.$$

(iii) Pour tout quadruplet $(I,I\cup\{p\},I\cup\{q\},I\cup\{p,q\})$ de parties appartenant à $\mathcal{I}$ les applications linéaires u_{Ip}, u_{Iq}, u_{Ipq}, u_{Iqp} et v_{Ip}, v_{Iq}, v_{Ipq}, v_{Iqp} données par le diagramme

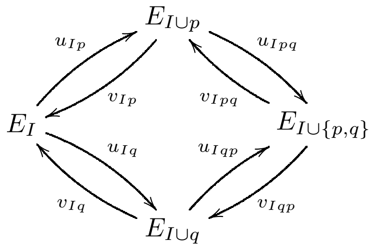

vérifient les conditions de commutations suivantes :

$$u_{Ip}u_{Ipq}=u_{Iq}u_{Iqp},\ v_{Ipq}v_{Ip}=v_{Iqp}v_{Iq},\ v_{Ipq}u_{Iqp}=u_{Ip}v_{Iq}.$$

(iv) Pour toute partie J de $\mathcal{I}$, pour tout élément p de $\{1,\cdots,k\}\backslash J$ tel que $J\cup\{p\}\in\mathcal{I}$ et pour toute partie maximale K de $\mathcal{I}$ de cardinal maximal contenant J mais ne contenant pas p, on note $(v_1,\cdots,v_n)$ la base $\mathcal{B}_K$ fixée plus haut et on suppose que, pour tout $i\in\{1,\cdots,j\}$ v_i appartient à σ_J, pour tout $i\in\{j+1,\cdots,l\}$ v_i appartient à σ_K. Enfin on note $(p_1,\cdots,p_n)$ les coordonnées de p dans $\mathcal{B}_K$. Alors l'application linéaire M_{Jp} s'écrit comme suit :

$$M_{Jp}=M_{Jv_{j+1}}^{p_{j+1}}\cdots M_{Jv_l}^{p_l}({}_1M_J)^{p_{l+1}}\cdots({}_{n-l}M_J)^{p_n}$$

Pour mieux comprendre cette définition donnons quelques exemples :

- Quand la variété torique est $\mathbb{C}^n$ on retrouve la catégorie $\mathcal{C}_{\mathbb{C}^n}$ définie par G. Galligo, M. Granger et Ph. Maisonobe dans [4].

- Soit (e_1, e_2) la base canonique de $\mathbb{Z}^2$, $e_3 = -e_1 - e_2$ et Δ l'éventail formé des faces des cônes engendrés par $\{e_1, e_2\}$, $\{e_1, e_3\}$ et $\{e_2, e_3\}$. La variété torique associée à Δ est $\mathbb{P}^2$. La catégorie $\mathcal{C}_{\mathbb{P}^2}$ est la catégorie formée des objets :

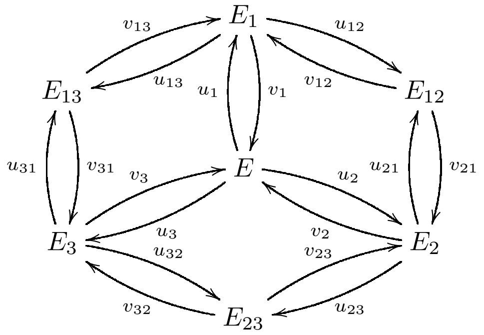

tels que, pour $(i, j) \in \{1, 2\}$ avec $i \neq j$:

- $u_i u_{ij} = u_j u_{ji},\ v_{ij} v_i = v_{ji} v_j,\ v_{ji} u_{ij} = u_j v_i$
- $M_{\emptyset i} = v_i \circ u_i + Id$ et $M_{ij} = v_{ij} \circ u_{ij} + Id$ soient inversibles,

Explicitons maintenant la condition (iv) :

- Considérons $M_{\emptyset 3}$, ici $J = \emptyset$, $p = \{e_3\}$ et $K = \mathcal{B}_K = (e_1, e_2)$ ainsi on a : $M_{\emptyset 3} = M_{\emptyset 1}^{-1} M_{\emptyset 2}^{-1}$,
- Intéressons nous maintenant à l'endomorphisme M_{13}, cette fois $J = \{e_1\}$, $p = \{e_3\}$ et $K = \mathcal{B}_K = (e_1, e_2)$ on a ainsi : $M_{13} = M_{12}^{-1}$ De même, pour tout $(i, j, k) \in \{1, 2, 3\}^3$, tous les trois différents on a : $M_{ij} = M_{ik}^{-1}$

Theorem 4. *Les catégories $\mathcal{C}_\Delta$ et $\mathcal{P}erv_\Delta$ sont équivalentes.*

Soit Δ un éventail régulier et X la variété torique associée à cet éventail. L'idée de la preuve est de définir un champ $\mathfrak{C}_\Delta$ de catégories de représentations de carquois équivalent au champ des faisceaux pervers sur X relativement à la stratification de l'action du tore. En effet la catégorie des sections globales de $\mathfrak{C}_X$ est alors équivalente à la catégorie $\mathcal{P}erv_\Delta$. Les champs pouvant être définis localement il suffit de définir un tel champ pour toute variété torique lisse affine, puis de les recoller.

Notons que les variété toriques lisses affines sont des produits de $\mathbb{C}^*$ et de $\mathbb{C}$ et que la stratification de l'action du tore n'est autre que la stratification produit du croisement normal et des $\mathbb{C}^*$. Ainsi dans un premier temps nous transformons l'équivalence de catégories de A. Galligo, M. Granger et Ph. Maisonobe en une équivalence de champs sur $\mathbb{C}^n$. Nous nous appuyons pour cela sur une description combinatoire des champs constructibles.

Puis pour recoller ces champs, et surtout pour expliciter les sections globales du champ recollé nous explicitons, à partir de la donnée d'un éventail, les morphismes de recollement des variétés toriques.

Les conditions (i), (ii) et (iii) de la catégorie $\mathcal{C}_\Delta$ sont issues des équivalences définies par A. Galligo, M. Granger et Ph. Maisonobe. La condition (iv) est elle donnée par les recollements toriques.

3 Remerciements

Cette note est issue de ma thèse [3]. Je remercie mon directeur Ph. Maisonobe pour sa disponibilité et I. Waschkies pour les nombreuses discussions. Je remercie aussi P. Abbrugiati pour un certain lemme d'algèbre linéaire.

References

[1] A. Beilinson, J. Bernstein, and P. Deligne. Faisceaux pervers. *Astérisque*, 100, 1982.

[2] T. Braden and M. Grinberg. Perverse sheaves on rank stratifications. *Duke math. jour.*, 96:317–361, 1999.

[3] D. Dupont. *Exemples de classifications du champ des faisceaux pervers*. PhD thesis, 2008.

[4] A. Galligo, M. Granger, and Ph. Maisonobe. $\mathcal{D}$-modules et faisceaux pervers dont le support singulier est un croisement normal. *Ann. Inst. Fourier (Grenoble)*, 1985.

[5] F. Gudiel Rodrìguez and L. Narvàez Macarro. Explicit models for perverse sheaves.proceedings of the international conference on algebraic geometry and singularities (spanish) (sevilla, 2001). *Rev. Mat. Iberoamericana*, 19:425–454, 2003.

[6] R. MacPherson and K. Vilonen. Elementary construction of perverse sheaves. *Invent. Math.*, 84:403–435, 1986.

[7] Ph. Maisonobe. Faisceaux pervers dont le support singulier est une courbe plane. *Compos. Math.*, 62:215–261, 1987.

[8] D. Treumann. Stacks similar to the stack of perverse sheaves. *http://arxiv.org/pdf/0801.3016*, 2008.

[9] D. Treumann. Exit paths and constructible stacks. *Compos. Math.*, 145:1504–1532, 2009.